

УДК 538.911:538.915

## СТРУКТУРА И ЭЛЕКТРОННЫЕ СВОЙСТВА НИТРАТОВ МАГНИЯ И КАЛЬЦИЯ И ИХ КРИСТАЛЛОГИДРАТОВ ИЗ ПЕРВЫХ ПРИНЦИПОВ

Ю.Н. Журавлëв, Д.В. Корабельников

Кемеровский государственный университет, Россия

E-mail: zhur@kemsu.ru

Статья поступила 27 июня 2016 г.

В рамках теории функционала плотности гибридным функционалом в базисе локализованных атомных орбиталей с помощью программного кода CRYSTAL14 проведено исследование кристаллической структуры и электронных свойств нитратов магния, кальция, гексагидрата нитрата магния и тетрагидрата нитрата кальция. Вычислены параметры атомной структуры, атомные заряды, заселенности связей, энергетическое и пространственное распределение электронов. Показана преимущественно электростатическая природа взаимодействия нитрогрупп и молекул воды. В спектре плотности состояний кристаллогидратов по сравнению с нитратами имеются дополнительные полосы, обусловленные наличием воды. В спектрах незанятых состояний наблюдается разрыв: ширина анионной запрещенной зоны ~6,5 эВ, а катионной ~8,8 эВ.

DOI: 10.15372/JSC20170401

**Ключевые слова:** гексагидрат, тетрагидрат, нитрат, магний, кальций, кристаллическая структура, упругие постоянные, химическая связь, заряд, плотность электронных состояний.

### ВВЕДЕНИЕ

Нитрат магния ( $Mg(NO_3)_2$ , MN) представляет собой бесцветный гигроскопичный кристалл, который используется в пиротехнике, в производстве концентрированной азотной кислоты, а также для облегчения нанесения покрытий и зернение в производстве нитрата аммония. В воздухе он быстро образует гексагидрат нитрата магния ( $Mg(NO_3)_2 \cdot 6H_2O$ , M NH), встречающийся в природе в виде минерального нитромагнезита. Недавно были синтезированы с помощью золь-гель метода [ 1 ] композитные твердые электролиты в системе  $(1-x)Mg(NO_3)_2 - xAl_2O_3$  с  $x = 0,0 - 0,5$ . Структурный анализ композитных образцов показал превращение кристаллического гексагидрата нитрата магния в аморфные нитрат и оксид магния [ 2 ]. При комнатной температуре из-за присутствия  $MgO$  композиционные образцы с  $x = 0,1$  и  $0,2$  проявляли высокую ионную проводимость, и это открытие предлагает привлекательное будущее композитным электролитам на основе магния для создания аккумуляторных батарей.

Нитрат кальция ( $Ca(NO_3)_2$ , CN) также сильно гигроскопичен, поэтому его хранят без доступа влаги. CN в основном используется в качестве компонента при производстве удобрений, но есть и другие приложения, например во взрывчатых веществах и пиротехнике, где он дает пламя красного цвета. Обычно встречается в виде тетрагидрата нитрата кальция ( $Ca(NO_3)_2 \times 4H_2O$ , CNH). В настящее время активно изучается триглицинат нитрата кальция — полуорганический нелинейный оптический кристалл (NLO) [ 3 ]. Кристаллы NLO сохраняют достоин-

ства органических и неорганических материалов, такие как гибкость органических и хорошую твердость неорганических материалов.

Нитраты щелочноземельных металлов при нагревании разлагаются на соответствующие твердые (s) оксиды, газообразные (g) двуокись азота и кислород:



Для нитрата кальция, например, требуется 369 кДж/моль. Кристаллический  $\text{Mg}(\text{NO}_3)_2 \cdot 6\text{H}_2\text{O}$  также при нагревании разлагается [ 4 ]:



Термодинамические свойства нитратов можно найти в справочнике [ 5 ], кристаллогидратов в [ 6 ], а параметры разложения в [ 7, 8 ].

Безводные нитраты имеют кубическую структуру с пространственной группой симметрии  $\text{Pa}\bar{3}$  и четырьмя формульными единицами  $Z$  в элементарной ячейке. Постоянная решетки в нитрате магния  $a = 7,48 \text{ \AA}$ , нитрате кальция —  $7,6 \text{ \AA}$  [ 9 ]. Гексагидрат нитрата магния имеет моноклинную структуру с пространственной группой  $P2_1/c$  и  $Z = 2$  [ 10, 11 ], тогда как в ячейке тетрагидрата нитрата кальция содержатся четыре формульные единицы [ 12 ]. Кристаллическую структуру MNH уточняли в [ 13 ], где исследования были проведены с помощью терагерцовой спектроскопии и твердотельного моделирования методами теории функционала плотности с включением полуэмпирических дисперсионных поправок. Было показано, что, несмотря на то, что дисперсионные силы, безусловно, присутствуют в MNH, электростатические силы явно преобладают в межмолекулярных взаимодействиях и регулируют его кристаллическую структуру и динамику.

Электронные свойства нитратов магния и кальция ранее экспериментальными и теоретическими методами детально не исследовались. Традиционными являются методы ИК и КР спектроскопии, и соответствующие данные можно найти в [ 14, 15 ]. В работе [ 15 ] методами спонтанной КР спектроскопии на примере  $\text{M}(\text{NO}_3)_2 \cdot n\text{H}_2\text{O}$  ( $\text{M} = \text{Mg}, \text{Ca}; n = 4, 6$ ) исследовались изменения в структуре и симметрии полиатомного иона и кристаллической решетки от числа молекул воды в элементарной ячейке. Электронные свойства нитратов щелочных металлов изучались нами ранее теоретическими методами [ 16, 17 ]. Отмечено, что для их зонной структуры характерно наличие практически плоских валентных зон и незанятых зон локализованных анионных возбуждений. Эти анионные зоны молекулярного характера отделены энергетическим промежутком от последующих незанятых зон. Из первых принципов было установлено, что имеет место ковалентная связь внутри нитрат-анионов и ионная связь между катионами и анионами.

В настоящей работе методами теории функционала плотности из первых принципов исследуется кристаллическая структура, распределение электронного заряда, энергетический электронный спектр и плотность состояний для нитратов магния и кальция и их кристаллогидратов.

#### МЕТОД РАСЧЕТА

Для теоретического исследования нитратов щелочноземельных металлов и их кристаллогидратов с их комплексным характером химической связи целесообразно использовать классический метод Хартри—Фока (HF) и методы теории функционала плотности (DFT), которые хорошо сочетаются в пакете прикладных программ CRYSTAL14 [ 18 ]. В качестве базиса используются наборы локализованных функций гауссова типа (GTF), а обменно-корреляционный DFT функционал в обобщенно-градиентном приближении выбирается в PBE форме [ 19 ]. Гибридная версия PBE обменно-корреляционного функционала с 25%-й гибридизацией HF обмена известна как PBE0 функционал [ 20 ], который и применялся в настоящих расчетах. Сходимость по энергии при самосогласовании была установлена на значение  $10^{-9}$  ат. ед. энергии (1 ат. ед. =  $= 27,21 \text{ эВ}$ ) для всех процедур, в том числе оптимизации геометрии. Обратное пространство дискретизируется с использованием Monkhorst—Pack сетки с 64 независимыми  $k$ -точками в не-приводимой части зоны Бриллюэна. Полную оптимизацию геометрии кристаллической решет-

ки, вычисление упругих постоянных проводили с помощью стандартных процедур пакета CRYSTAL14 с параметрами по умолчанию. Пороги контроля точности кулоновской и HF обменной серии установлены как 7, 7, 7, 7, 30 [18].

Выбор базисного набора важен, поскольку его неполнота может привести к известной ошибке суперпозиции базисных наборов. В настоящих расчетах были использованы базисные наборы для атомов азота, кислорода, магния и кальция [21]. Для азота, кислорода и магния это полноэлектронный набор, кальция — RSC псевдопотенциальный. Для атома кислорода ( $1s$ )<sup>2</sup> оственная и ( $2sp$ )<sup>6</sup> валентная оболочки описываются 6 и 3 GTF соответственно, две виртуальные ( $sp$ )<sup>0</sup> и две ( $d$ )<sup>0</sup>, каждая по одной GTF. Для атома азота включены 3 виртуальные оболочки и общее число GTF равно 12, атома магния — 22 и кальция — 16. Для атома водорода применен трехоболочечный набор с ( $sp$ )<sup>0</sup> и ( $d$ )<sup>0</sup> диффузными орбиталами [22].

## РЕЗУЛЬТАТЫ И ИХ ОБСУЖДЕНИЕ

Определение кристаллической структуры соединений — начальный этап исследования их физических свойств первопринципными методами. Зачастую параметры структуры: постоянные решетки, межатомные расстояния, — являются единственными, надежно и с достаточной высокой точностью определенными экспериментально. Полная оптимизация геометрии позволяет установить корректность и точность используемого теоретического подхода.

Надежные экспериментальные данные по структуре нитратов магния и кальция отсутствуют. Это связано с тем, что при обычных условиях они существуют в виде кристаллогидратов. В табл. 1 приведены первопринципные расчеты параметров их структуры: постоянные решетки и координаты атомов в элементарной ячейке.

На рис. 1 приведена элементарная ячейка нитратов магния и кальция. Каждый атом кальция в CN окружен 12 атомами кислорода: по 6 на расстояниях 2,5445 и 2,8515 Å.

Таким образом, имеет место бидентатный тип соединения атома металла M с нитрогруппой  $\text{NO}_3^-$ . Расстояние между атомами M и  $\text{NO}_3^-$  составляет 3,0939 Å, а между двумя нитрогруппами 4,0838 Å. В самом нитрат-ионе длины связей N—O и O—O равны 1,2414 и 2,1502 Å соответственно.

Структура кристаллогидратов значительно сложнее (рис. 2). В табл. 2 приведены экспериментальные и теоретические значения параметров элементарной ячейки MNH и CNH. В работе [11] параметры кристаллической решетки MNH измерены при 173 K, а в [13] — 97 K. Теоретическому расчету отвечает температура 0 K.

В структуре MNH каждый атом магния окружен шестью атомами кислорода, но в отличие от нитрата они принадлежат не нитрат-иону, а молекулам воды и отстоят попарно на расстояниях 2,0645 (молекула I), 2,0652 (II), 2,0742 Å (III), углы в молекулах воды I—III равны 108,29, 108,95 и 106,49° соответственно, а длины связей O—H в них изменяются в интервале от 0,9629

Таблица 1

*Предсказанные параметры  
кристаллической структуры:  
период решетки  $a$  и позиции атомов  
в элементарной ячейке  $x/a$ ,  $y/a$ ,  $z/a$   
нитратов магния и кальция*

Кристалл	$\text{Mg}(\text{NO}_3)_2$	$\text{Ca}(\text{NO}_3)_2$
$a$ , Å	7,1797	7,5766
N: $x=y=z$	0,3616	0,3382
O: $x$	0,2912	0,2572
$y$	0,2893	0,2861
$z$	-0,4980	0,4708

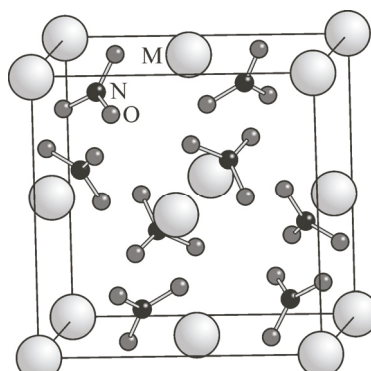


Рис. 1. Элементарная ячейка нитратов  $\text{M}(\text{NO}_3)_2$  ( $\text{M} = \text{Mg}, \text{Ca}$ )

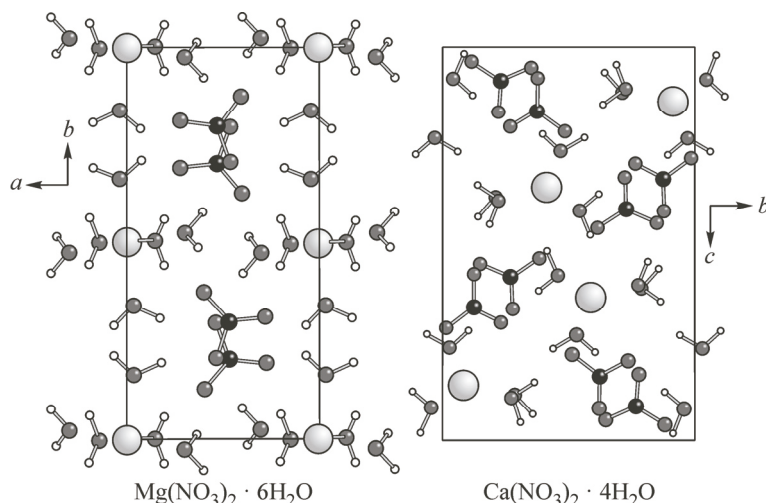


Рис. 2. Структура гидратов нитратов магния и кальция

Таблица 2

*Рассчитанные и экспериментальные значения параметров элементарной ячейки MNH и CNH*

Кристалл	Метод	$a, \text{\AA}$	$b, \text{\AA}$	$c, \text{\AA}$	$\beta, \text{град.}$	$V, \text{\AA}^3$
$\text{Mg}(\text{NO}_3)_2 \cdot 6\text{H}_2\text{O}$	Эксп. [ 11 ]	6,190	12,614	6,56	93,72	511,129
	Эксп. [ 13 ]	6,2323	12,5320	6,5010	93,913	506,59
	Расчет	6,2047	12,2774	6,5799	95,876	498,611
$\text{Ca}(\text{NO}_3)_2 \cdot 4\text{H}_2\text{O}$	Эксп. [ 12 ]	6,2786	9,1551	14,8999	106,22	822,4
	Расчет	6,0832	9,2457	14,9020	106,746	802,593

до 0,9748 Å. Эти значения превышают экспериментальные: 0,7683÷0,8468 Å. Полученные в [ 14 ] с помощью B3LYP функционала О—Н расстояния 0,9745÷0,9826 Å также выше измеренных. В нитрат-ионе атомы кислорода О располагаются на расстояниях 1,2379 (O1), 1,2437 (O2), 1,2468 Å (O3), экспериментальные значения: 1,2439, 1,2533, 1,2538 Å [ 13 ]. Минимальный угол между атомами кислорода и азота равен 119,43°, а кратчайшие расстояния между атомом кислорода (O3) нитрогруппы и водорода 1,7736 (H1) и 1,7945 Å (H3).

В CNH каждый атом кальция также окружен шестью атомами кислорода, из которых четыре относятся к молекулам воды, а два — к нитрогруппам. Две молекулы воды располагаются на расстояниях 2,3709 (I) и 2,3929 Å (II), а две другие на 2,4532 (III) и 2,4874 Å (IV). В отличие от MNH, нитрогруппы здесь занимают неэквивалентные кристаллографические положения и табл. 3 иллюстрирует межатомные расстояния в них. Длины связей O—H 0,9665 и 0,9681 Å в молекуле воды (I), 0,9619 и 0,9724 Å (II), 0,9657 и 0,9805 Å (III) и 0,9743 и 0,9829 Å (IV).

Таблица 3

*Межатомные расстояния  $l$  в тетрагидрате нитрата кальция*

$\text{NO}_3$ (1)	$l, \text{\AA}$	$\text{NO}_3$ (2)	$l, \text{\AA}$	$\text{NO}_3$ (1)	$l, \text{\AA}$	$\text{NO}_3$ (2)	$l, \text{\AA}$
N1—O11	1,2188	N2—O21	1,2354	O13—O11	2,1593	O23—O21	2,1437
N1—O12	1,2512	N2—O22	1,2363	O13—O12	2,1394	O23—O22	2,1620
N1—O13	1,2617	N2—O23	1,2590	O12—O22	2,1630	O21—O22	2,1555
O13—Ca	2,4513	O23—Ca	2,5667	O13—H(IV)	1,7141	O21—H(I)	1,8967
O23—Ca	2,6299		2,5874	O12—H(II)	1,8416	O22—H(IV)	1,9074

Проведенная оптимизация геометрии кристаллической решетки в полной мере не доказывает существование кристалла. В этой процедуре используется полная энергия и ее первые производные. Механическая стабильность решетки обеспечивается особыми условиями, которым должны удовлетворять упругие постоянные, вычисляемые как вторая производная от энергии по соответствующим деформациям. Такая процедура реализована в программном коде CRYSTAL14.

Упругие постоянные  $C_{ij}$  в обозначениях Фойгта приведены в табл. 4.

Как следует из табл. 4, условия механической стабильности для кубических кристаллов  $C_{11} > 0$ ,  $C_{44} > 0$ ,  $C_{11} > C_{12}$ ,  $C_{11} + 2C_{12} > 0$  в нитратах выполняются. Следует отметить, что упругий фактор анизотропии, который определяется как  $A = ((2C_{44} + C_{12})/C_{11}) - 1$  для нитрата кальция, в отличие от магния, отрицателен, несмотря на схожесть их структур.

Микроскопические характеристики (пространственное распределение заряда и энергетический спектр электронов) определяют многие физико-химические свойства кристаллов. Распределение зарядов отвечает за химическую связь и, следовательно, за химические превращения веществ при внешних воздействиях. Энергетическое распределение — за физические свойства, например оптические.

На рис. 3 приведено распределение в нитрате кальция электронной плотности  $\rho$  и деформационной плотности  $\Delta\rho$ , которая получается вычитанием из  $\rho$  плотности свободных, невзаимодействующих атомов. Деформационная плотность лучшим образом раскрывает механизмы образования химической связи. Сплошные линии в  $\Delta\rho$  означают положительные значения равной плотности, пунктирные — отрицательные. Первые указывают на области натекания заряда, вторые — вытекания, обусловленного взаимодействием атомов в кристалле. Имеются общие линии равной плотности  $\rho$ , охватывающие атомы нитрогруппы и атомы металла, что является следствием перекрывания их электронных облаков.

Интегральной характеристикой распределения заряда является заселенность электронных оболочек атома  $P_A$  и заселенность перекрывания электронных оболочек соседних атомов  $P_{A-B}$ .

Разность между зарядом ядра  $Z_A$  и  $P_A$  есть эффективный заряд атома  $Z^*$ , который измеряется в единицах заряда электрона по модулю  $|e|$ , а  $P_{A-B}$  — в единицах заряда электрона  $e$  и характеризует силу химического связывания атомов А и В. Так, в нитрате кальция эффективный заряд атома металла 1,54  $|e|$ , атома азота 0,93 и кислорода  $-0,567 |e|$ . В нитрате магния  $Z^*$  металла 1,484, азота 0,911 и кислорода  $-0,551 |e|$ . Заселенность перекрывания электронных областей атомов азота и кислорода  $P_{N-O}$  в CN составляет 0,295  $|e|$  против 0,288  $|e|$  в MN. Такие значения характерны для ковалентного типа химической связи. Наоборот, величина перекрывания атомов металла и ближайших атомов кислорода равна всего 0,027  $|e|$  в CN и 0,033  $|e|$  в MN, при том что расстояния Mg—O несколько больше, чем Ca—O.

Таблица 4

Упругие постоянные  $C_{ij}$  для нитратов магния и кальция

Кристалл	$C_{11}$ , ГПа	$C_{12}$ , ГПа	$C_{44}$ , ГПа
Mg(NO <sub>3</sub> ) <sub>2</sub>	81,86	66,09	17,53
Ca(NO <sub>3</sub> ) <sub>2</sub>	41,81	25,24	6,72

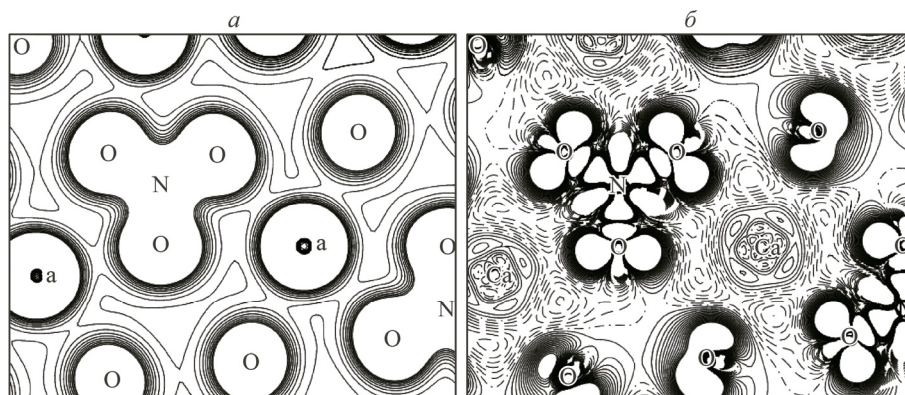


Рис. 3. Распределение электронной плотности (а) и деформационной плотности (б) в нитрате кальция

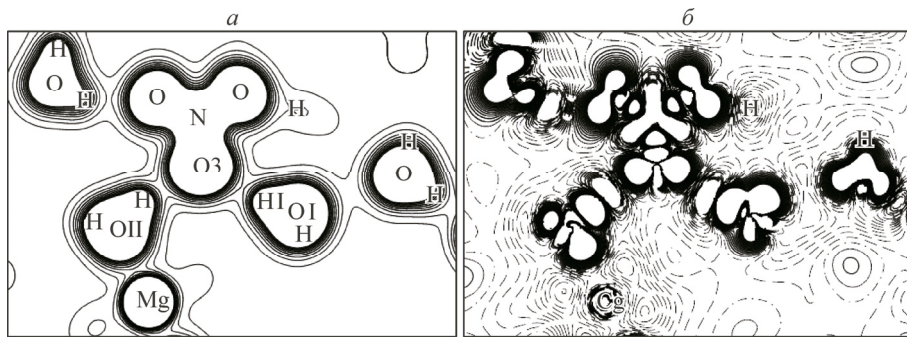


Рис. 4. Распределение электронной плотности (а) и деформационной плотности (б) в гексагидрате нитрата магния

На карте деформационной плотности видно, что заряд вытекает из областей, расположенных вдоль линии N—O за атомами кислорода (антисвязывающие области) и натекает на линию N—O (связывающие области). При этом на линии связи образуются максимумы  $\Delta\rho$ , что является характерным признаком ковалентной связи. Отрицательные области  $\Delta\rho$  имеются вблизи атома азота, и они ориентированы в направлении линии N—Ca. Характерная область положительных значений  $\Delta\rho$  в виде тора располагается за ядрами атомов кислорода.

В гексагидрате нитрата магния распределение заряда вблизи нитрат-иона принципиально не меняется (рис. 4). Заряд атома азота составляет  $0,883 |e|$ , что меньше, чем в нитрате магния. Заряды атомов кислорода в нитрогруппе различные, в порядке возрастания длины связи N—O они принимают значения  $-0,54, -0,537, -0,542 |e|$ . Заселенности перекрывания связи N—O также различные:  $0,325, 0,285, 0,274 |e|$ . Заряды атомов кислорода в молекулах воды уменьшаются по мере удаления от магния:  $-0,766, -0,758, -0,744 |e|$ . Такой же порядок имеет и заселенность перекрывания на линии Mg—O:  $0,052, 0,039, 0,039 |e|$ .

Заряд самого атома магния равен  $1,632 |e|$ , и это значительно больше, чем в нитрате. Заряд нитрат-иона равен  $-0,736 |e|$ , а суммарный заряд атомов в молекулах воды I—III практически близок к нулю и равен  $-0,032, -0,024, -0,024 |e|$  соответственно. Распределение электронной плотности на молекуле воды имеет грушевидный вид со смещением в сторону водорода ближайшего к атому O3 нитрогруппы, и соответствующие расстояния O3—HII равны 1,774 и O3—HII 1,854 Å. При этом расстояние OI—HII равно 0,975 Å, что больше, чем для второго атома водорода (0,972 Å). Соответственно, заселенность перекрывания меньше:  $0,282, 0,290 |e|$ . То же наблюдается и в молекуле воды II. Заряд атома O3 уменьшился по сравнению с MN за счет перекрывания электронных облаков с атомами водорода:  $P_{O3—HII} = 0,04 |e|, P_{O3—HII} = 0,035 |e|$ , что, в свою очередь, привело к разным зарядам атомов HII ( $0,365 |e|$ ) и HII ( $0,369 |e|$ ). Таким образом, в MNH взаимодействие нитрогрупп с водой имеет электростатический характер.

В CNH заряд атома кальция равен  $1,458 |e|$ . В отличие от MNH он окружен четырьмя молекулами воды, в которых заряды атомов кислорода для первой пары молекул равны  $-0,705 |e|$ , для второй пары  $-0,72$  и  $-0,726 |e|$ , а заселенности перекрывания электронных оболочек атомов Ca и O в порядке возрастания межатомных расстояний  $0,048, 0,035, 0,038$  и  $0,047 |e|$ . Суммарный заряд молекул воды I—IV равен  $0,014, 0,017, 0,025, 0,028 |e|$  соответственно, и он возрастает по мере удаления молекулы от металла. Заряд атомов азота в первой нитрогруппе равен  $0,872$  и второй  $0,875 |e|$ , а заряды атомов кислорода O11—O13 соответственно  $-0,501, -0,56, -0,593 |e|$ , O21—O23:  $-0,514, -0,525, -0,597 |e|$ . В целом, нитрогруппы имеют отрицательный заряд, а связь между ними и катионом металла носит ионный характер. Для самой короткой связи N1—O11 заселенность перекрывания составляет  $0,362 |e|$  и далее убывает с расстоянием как  $0,273, 0,264 |e|$ . Во второй нитрогруппе соответственно  $0,305, 0,304, 0,295 |e|$ . Наблюдается также перекрывание электронных оболочек атома O13 и атома HIV с заселенностью  $0,039 |e|$  и атома O12 с HII с заселенностью  $0,036 |e|$ . Механизм взаимодействия нитрогрупп с молекулами воды аналогичен MNH.

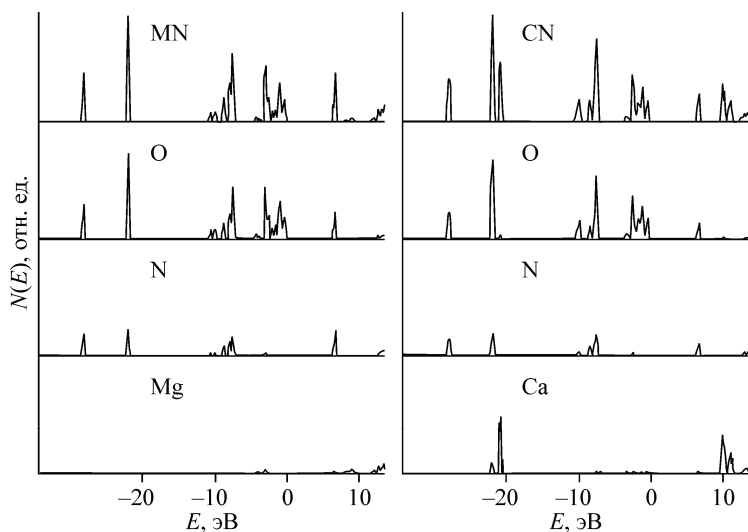


Рис. 5. Энергетическое распределение плотности электронных состояний  $N(E)$  в нитратах магния, кальция (MN, CN): полной (сверху) и парциальной от атомов кислорода, азота, магния и кальция

Рассмотрим теперь энергетическое распределение электронов в нитратах. Самые нижние, оствовые состояния в CN 1s-состояния кислорода ( $O_{1s}$ ) с энергией  $-529$  эВ ( $-528,7$  эВ в MN) и  $N_{1s} -404,6$  эВ ( $-404,1$  эВ). В гексагидрате нитрата магния атомы кислорода в нитрогруппе находятся в разных зарядовых состояниях, что приводит к расщеплению  $O_{1s}$  уровней:  $-531,16$ ,  $-531,15$ ,  $-531,07$  эВ. Для атомов кислорода из молекул воды также будут наблюдаться три линии:  $-530,17$ ,  $-530,16$ ,  $-530,14$  эВ. Линия  $N_{1s}$  также сместится по отношению к нитратной и ее значение  $-406,82$  эВ. В CaNH две неэквивалентные нитрогруппы, поэтому будет шесть неэквивалентных значений  $O_{1s}$  энергий, и они будут находиться в интервале от  $-530,65$  до  $-530,11$  эВ, тогда как для воды от  $529,83$  до  $529,5$  эВ. Также будут и две оствовые линии азота:  $-406,24$  и  $-406,10$  эВ.

Энергетический спектр электронов в валентной области нитратов представляет собой чередование узких разрешенных и широких запрещенных зон. На рис. 5 приведены спектры плотности электронных состояний MN, CN и парциальные вклады от состояний атомов кислорода, азота, магния и кальция. Энергия верхних занятых состояний положена равной нулю. Самая нижняя полоса  $N(E)$  CN в области  $-27,9$  эВ имеет ширину всего  $0,12$  эВ и образована  $s$ -гибридными состояниями кислорода ( $60\%$  вклада) и азота. В образовании следующей полосы принимает участие помимо  $s$ -состояния кислорода ( $75\%$ ) и азота еще и  $p$ -состояние кальция ( $5\%$ ). Двум этим группам энергетических зон отвечают состояния электронов, которые пространственно обеспечивают перекрывание оболочек атомов азота и кислорода, и для них  $P_{N-O}$  равно  $0,251 |e|$ . Полоса при  $-20,5$  эВ обусловлена  $p$ -состояниями кальция, и в MN она, естественно, отсутствует. Области энергетического спектра в интервале  $-9,6 \div -6,9$  эВ отвечают гибридизованные  $p$ -состояния кислорода и азота, причем кристаллические орбитали нижней являются несвязывающими по отношению к связи  $N-O$  (заселенность перекрывания  $-0,083 |e|$ ), а верхняя — связывающая ( $0,079 |e|$ ). Верхняя валентная зона в нитрате кальция имеет ширину  $3,26$  эВ ( $4,33$  эВ в MN), образована преимущественно  $p$ -состояниями кислорода, волновые функции которых ориентированы перпендикулярно линии связи  $N-O$ . В плотности состояний ей отвечает несколько максимумов. Самые нижние состояния отвечают за связь  $Ca-O$  ( $P_{Ca-O} = 0,019 |e|$ ), средняя область — за связь  $N-O$  ( $0,037 |e|$ ) и антисвязь  $O-O$  ( $-0,053 |e|$ ).

Самая верхняя валентная область отделена запрещенным участком энергий в  $0,08$  эВ от предыдущих, и ее кристаллические орбитали являются исключительно антисвязывающими. Вершина валентной зоны находится на точку  $\Gamma$  (центр зоны Бриллюэна). В зоне незанятых

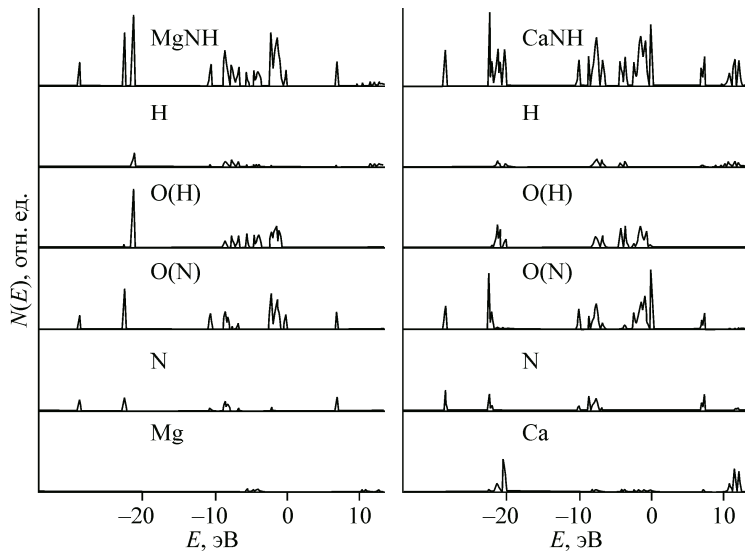


Рис. 6. Распределение плотности энергетических состояний  $N(E)$  в MgNH и CaNH: полной (сверху) и парциальной от атомов водорода, кислорода из молекул воды O(H), кислорода из нитрогруппы O(N), азота, магния и кальция

состояний имеется разрыв в спектре энергий. Нижняя незанятая зона, шириной которой составляет 0,33 эВ, образована на 40 % из  $p$ -состояний азота и 57 %  $p$ -состояний кислорода. Это так называемая анионная зона проводимости, существование которой ранее было обнаружено в других оксиационных кристаллах [23]. Ширина анионной запрещенной зоны  $E_g^a$  в нитрате кальция составляет 6,68 эВ. В нитрате магния незанятая зона расщепляется на две подзоны, запрещенная щель между ними составляет 0,05 эВ. Ширина первой анионной зоны составляет 6,42 эВ и второй 6,70 эВ. Непрерывная зона проводимости располагается выше локализованной анионной и ее дно образовано  $s$ -состояниями катиона. Ширина катионной зоны проводимости составляет 9,92 эВ (7,77 эВ в MN).

На рис. 6 приведено энергетическое распределение полной и парциальной (учитывает вклад атомов одного сорта) плотности электронных состояний  $N(E)$  в гексагидрате нитрата магния и тетрагидрате нитрата кальция. Здесь O(N) обозначает вклад от атомов кислорода нитрогруппы, а O(H) — атомов кислорода из молекул воды.

Две нижние полосы в области  $-28,8$  и  $-23,3$  эВ для MNH образованы  $s$ -состояниями азота и кислорода нитрогрупп, и они на 80 % обеспечивают химическую связь N—O в нитрогруппе. В этой же энергетической области находятся  $s$ -гибридизованные состояния атомов кислорода и водорода, которые на 40 % обеспечивают связь в молекуле воды. Далее следуют две зоны  $p$ -гибридных состояний кислорода и азота, в которых нижняя является антисвязывающей, а верхняя связывающей по отношению к N—O. На эту же энергетическую область накладываются состояния кислорода и водорода из молекул воды, но они образуют две отдельные полосы, из которых нижняя как раз отвечает за связь O—H ( $P_{O-H} = 0,119 |e|$ ), а вторая, более широкая в  $N(E)$  — за Mg—O ( $P_{O-Mg} = 0,015 |e|$ ). В верхней валентной области выделяются две полосы: нижняя шириной 1,66 и верхняя 0,24 эВ. Определяющий вклад в их формирование вносят атомы кислорода. Отделенную запрещенным участком в 0,44 эВ верхнюю валентную зону, как и в нитратах, образуют  $p$ -состояния кислорода из нитрогрупп.

Ширина анионной запрещенной зоны равна 6,55 эВ. Нижняя незанятая зона анионной природы имеет ширину 0,21 эВ. Она, как и в MN, CN формируется  $p$ -состояниями азота и  $p$ -состояниями кислорода. Далее следует непрерывная зона незанятых состояний с минимумом в точке Г. В отличие от валентных зон она является дисперсной, поэтому в плотности состояний ее вклад

незначителен. Нижняя ее часть на 80 % формируется состояниями водорода, а также магния и азота, поэтому ее следует именовать катионной. Ширина катионной запрещенной зоны составляет 8,33 эВ.

В тетрагидрате нитрата кальция число нижних валентных полос  $N(E)$  увеличивается из-за присутствия в этой области  $p$ -состояний кальция, которые слабо гибридизуются с  $s$ -состоянием кислорода. В средней части валентной зоны присутствуют  $p$ -гибридизованные состояния азота и кислорода как от нитрогрупп, так и воды. Особый интерес представляет устройство верхних валентных и нижних незанятых энергетических зон. Нижняя ее часть шириной 2,1 эВ, как и в  $MNH$ , построена из  $p$ -состояний кислорода нитрогрупп и воды. Далее на расстоянии 0,3 эВ располагается вторая подзона шириной всего 0,07 эВ, образованная  $p$ -состояниями кислорода второй нитрогруппы, и на удалении 0,05 эВ самая верхняя валентная подзона шириной всего 0,1 эВ, образованная  $p$ -состояниями атомов кислорода, но уже из первой нитрогруппы.

Нижняя незанятая зона отстоит от верхней валентной на расстоянии 6,53 эВ, имеет ширину 0,25 эВ и образована преимущественно  $p$ -состояниями азота и кислорода второй нитрогруппы. Выше по энергии на 0,09 эВ отстоит вторая незанятая зона, которая имеет ширину 0,14 эВ и образована преимущественно  $p$ -состояниями азота и кислорода первой нитрогруппы. Собственно непрерывная зона проводимости образована на 80 % состояниями водорода, 15 % металла и небольшим вкладом азота. Ширина запрещенной катионной зоны 8,35 эВ. Таким образом, в тетрагидриде нитрата кальция при возбуждении с энергией 6,5 эВ (627 кДж) должен наблюдаться электронный перенос между молекулярными анионами с образованием неустойчивых радикалов  $NO_3^0$  и  $NO_3^{2-}$  с последующим их распадом до нитрита и пероксинитрита [ 24 ].

## ЗАКЛЮЧЕНИЕ

В рамках теории функционала плотности гибридным функционалом PBE0 выполнено исследование кристаллической структуры и электронных свойств нитратов магния и кальция, гексагидрата нитрата магния и тетрагидрата нитрата кальция. Для нитратов впервые из первых принципов определены постоянные кубической решетки и позиции атомов в элементарной ячейке. Для кристаллогидратов отклонение рассчитанных параметров моноклинной решетки от экспериментальных не превышает 2 %. В структуре гексагидрата, в отличие от нитрата магния, каждый атом металла окружен шестью атомами кислорода из трех неэквивалентных в кристаллографическом отношении молекул воды, тогда как в тетрагидрате четырьмя атомами кислорода из молекул воды и двумя атомами кислорода из двух неэквивалентных нитрогрупп. Такое кристаллическое строение находит свое отражение в электронных свойствах. Рассчитанный по схеме Малликена эффективный заряд магния в нитрате в единицах заряда электрона равен +1,48 и в гексагидрате он увеличивается до +1,54 за счет того, что заряд каждой молекулы воды в среднем равен -0,02. В тетрагидрате заряд кальция равен 1,46, что на 0,07 меньше, чем в нитрате. Средний заряд каждой из четырех молекул воды положительный и равен примерно 0,02. Заряд нитрогруппы в нитрате магния равен -0,74, нитрате кальция -0,77, и в кристаллогидратах он практически не изменяется. В энергетическом спектре электронов в кристаллогидратах появляются дополнительные по отношению к нитратам зоны, образованные кислородными состояниями молекул воды. Структура спектра плотности электронных состояний верхней валентной области в гексагидрате и тетрагидрате различается, несмотря на то, что в том и другом случае она имеет кислородную природу. В спектре незаполненных состояний имеется разрыв с обособлением анионной зоны, отстоящей на 6,5 эВ от верхней валентной. Ширина катионной запрещенной зоны в нитратах магния и кальция составляет 7,8 и 9,9 эВ соответственно, а в их кристаллогидратах 8,3 эВ.

Работа выполнена при поддержке Министерства образования и науки РФ в рамках контракта № 15.3487.2017.

*СПИСОК ЛИТЕРАТУРЫ*

1. Sulaiman M., Dzulkarnain N.A., Rahman A. et al. // Solid State Sci. – **14**. – 2012. – P. 127.
2. Sulaiman M., Rahman A., Mohamed N. // Int. J. Electrochem. Sci. – **8**. – 2013. – P. 6647.
3. Peter M., Ramasamy P. // Adv. Mater. Lett. – **7**. – 2016. – P. 83.
4. Morales A., Lopez T., Gomez R. // J. Solid State Chem. – **115**. – 1995. – P. 411.
5. Patnaik P. Handbook of inorganic chemicals. – McGraw-Hill Companies, 2003.
6. Sadovska G., Honcova P., Pilar R. et al. // J. Therm. Anal Calorim. – **124**. – 2016. – P. 539.
7. Stren K.H. // J. Phys. Chem. Ref. Data. – **1**. – 1972. – P. 747.
8. Brockner W., Ehrhardt C., Gjikaj M. // Therm. Acta. – **456**. – 2007. – P. 64.
9. Wyckoff R.W.G. Structure of Crystals. – New York: Chemical Catalog Company INC, 1931.
10. Braibanti A., Tiripicchio A., Lanfredi A.M. et al. // Acta Cryst. B. – **35**. – 1979. – P. 354.
11. Schefer J., Grube M. // Mater. Res. Bullet. – **30**. – 1995. – P. 1235.
12. Leclaire A., Monier J. // Acta Cryst. B. – **33**. – 1977. – P. 1861.
13. Witko E.M., Buchanan W.D., Korter T.M. // Inorg. Chim. Acta. – **389**. – 2012. – P. 176.
14. Miller F.A., Wilkins C.H. // Analyt. Chem. – **24**. – 1952. – P. 1253.
15. Kondilenko I.I., Korotkov P.A., Golubeva N.G. // Zhurnal Prikladnoi Spektroskopii. – **20**. – 1974. – P. 1028.
16. Журавлëв Ю.Н., Поплавной А.С. // Журн. структур. химии. – 2003. – **44**, № 2. – С. 216.
17. Журавлëв Ю.Н., Корабельников Д.В. // Журн. структур. химии. – 2009. – **50**, № 6. – С. 1070.
18. Dovesi R., Saunders V.R., Roetti C. et al. CRYSTAL14 User's Manual. – Torino: University of Torino, 2014.
19. Perdew J.P., Burke K., Ernzerhof M. // Phys. Rev. Lett. – 1996. – **77**. – P. 3865.
20. Adamo C., Barone V. // J. Chem. Phys. – 1999. – **110**. – P. 6158.
21. Heyd J., Peralta J.E., Scuseria G.E. // J. Chem. Phys. – 2005. – **123**. – P. 174101.
22. Gatti C., Saunders V.R., Roetti C. // J. Chem. Phys. – 1994. – **101**. – P. 10686.
23. Zhuravlev Yu.N., Poplavnoi A.S. // Rus. Phys. J. – 2001. – **44**. – P. 391.
24. Дягилева Е.П., Миклин М.Б., Ананьев В.А. // Ползун. Вестник. – 2014. – № 3. – С. 58.